

В.Б. Бенедицький, ст. викл.

Л.Ю. Козак, аспір.

А.В. Яворська, аспір.

Житомирський державний технологічний університет

## РАДІОХВИЛЬОВИЙ МЕТОД ВИМІРЮВАННЯ ВОЛОГОСТІ МАТЕРІАЛІВ

(Представлено д.т.н., проф. Манойловим В.П.)

В статті розглянуто радіохвильовий метод вимірювання вологості твердих і сипучих матеріалів, який заснований на просвічуванні матеріалу мікрохвильовим випромінюванням, має нескладну методику вимірювання і є безконтактним методом.

**Вступ.** Вимірювання вологості сипучих і твердих матеріалів необхідне в багатьох галузях виробництва для контролю технологічних процесів [1, 2]. Визначення вологості шляхом зважування сухого і вологого зразків вимагає тривалого часу [3]. Серед методів, що забезпечують швидке і точне вимірювання вологості сипучих і твердих матеріалів, особливий інтерес представляють безперервні та безконтактні методи, при використанні яких не порушується їх цілісність. Перспективним методом вимірювання вологості матеріалів є радіохвильовий метод [4], заснований на використанні ефекту обертальної релаксації молекул води в НВЧ-полі, що призводить до поглинання енергії електромагнітної хвилі у вологому матеріалі [5, 6]. Висока чутливість радіохвильового методу обумовлена відмінністю діелектричної проникності води і сухого матеріалу. Даний метод отримав широке застосування через можливість отримання простих технічних рішень НВЧ вологомірів при нескладній методиці вимірювань. Перевагою даного методу є безконтактність вимірювань і можливість інтегральної оцінки вологості. Принцип, що лежить в основі даного методу, полягає у вимірюванні параметрів хвилі, що пройшла, та відбитої хвилі після взаємодії з матеріалом. На основі даного принципу реалізуються три схеми вимірювання вологи – за значенням поглинання енергії НВЧ-поля, значенням фазового зсуву НВЧ коливань і за параметрами відбитої від матеріалу хвилі [4]. Вимірювання вологості за поглинанням НВЧ енергії найбільш поширене в практиці НВЧ вологометрії [2, 3].

**Постановка завдання.** Вимірювання вологості матеріалів на НВЧ характеризується високою точністю і може проводитися без контакту з ними, що дозволяє здійснювати безперервні вимірювання великих об'ємів речовини. НВЧ-вологоміри широко використовуються для вимірювання і контролю вологості сировини, напівфабрикатів і готових виробів як у лабораторних, так і промислових умовах.

**Викладення основного матеріалу.** Одним із методів вимірювання вологості сипучих і твердих матеріалів є метод, заснований на просвічуванні матеріалу мікрохвильовим випромінюванням, причому вологість визначається по втратах потужності електромагнітної хвилі, що пройшла через зразок матеріалу. Послаблення, яке характеризує втрати НВЧ потужності, є функцією електричних властивостей матеріалу, через який проходить електромагнітна хвиля.

Розглянемо основні положення, які використовуються при подальшому розгляді поставленої задачі. При подальшому аналізі використовуються характеристики лінії передачі (ЛП) заповненої діелектриком з втратами. Тому, для зручності викладення коротко наводимо необхідні дані [7].

Хвильове число  $\gamma$  хвилі  $H$ - або  $E$ -типу, що розповсюджується в хвилеводі, заповненому діелектриком із втратами, дорівнює:

$$\gamma^2 = x^2 - \varepsilon^* k^2, \quad (1)$$

де  $x$  – хвильове число поперечного перерізу хвилеводу;  $k$  – хвильове число вільного простору;  $\varepsilon^*$  – комплексна відносна діелектрична проникність, що дорівнює:

$$\varepsilon^* = \varepsilon' - i\varepsilon'' = \varepsilon'(1 - itg\delta), \quad (2)$$

де  $tg\delta = \frac{\varepsilon''}{\varepsilon'} = \frac{\sigma}{\omega\varepsilon_0\varepsilon'}$  – тангенс кута діелектричних втрат.

Якщо підставити значення (2) у формулу (1), то отримаємо:

$$\gamma = \alpha + i\beta_\varepsilon, \quad (3)$$

де  $\alpha$  – коефіцієнт затухання:

$$\alpha = \frac{k^2 \varepsilon' tg\delta}{2\beta_\varepsilon}, \quad (4)$$

$\beta_\varepsilon$  – хвильове число:

$$\beta_\varepsilon^2 = k^2 \left[ 1 - \left( \frac{x}{k} \right)^2 \right] \left\{ \frac{1}{2} + \frac{1}{2} \left[ 1 + \left( \frac{\varepsilon''}{\varepsilon' - \left( \frac{x}{k} \right)^2} \right)^2 \right]^{1/2} \right\}. \quad (5)$$

Якщо  $\varepsilon'' = 0$ , то з (4) випливає звичайна формула для  $\beta_\varepsilon$ .

Якщо  $\varepsilon'' \neq 0$ , але достатньо мале, порівняно з одиницею (що майже завжди виконується для більшості діелектриків), то формулу (5) можна дещо спростити:

$$\beta_\varepsilon^2 \approx k \sqrt{\varepsilon' - \frac{x^2}{k}} \left[ 1 + \frac{1}{8} \left( \frac{\varepsilon''}{\varepsilon' - \frac{x^2}{k}} \right)^2 \right]. \quad (6)$$

Якщо не розглядати область значень довжин хвиль, при якій  $x^2 \approx \varepsilon'$ , то другим доданком в квадратних дужках можна знехтувати:

$$\beta_\varepsilon^2 \approx k \sqrt{\varepsilon' - \frac{x^2}{k}}. \quad (7)$$

При аналізі процесів розповсюдження хвиль вздовж хвилеводу широко використовується поняття хвильових опорів. Для  $H$ - і  $E$ -хвиль ці опори рівні:

$$Z_H = \frac{i\omega\rho_0}{\gamma}; \quad Z_E = \frac{\gamma}{i\omega\varepsilon_0\varepsilon^*}. \quad (8)$$

Підставивши в ці формули значення  $\gamma$  (3), після перетворень отримаємо:

$$Z_H = \frac{\omega\mu_0}{\beta_\varepsilon} \left[ \frac{1 + i \frac{a}{\beta_\varepsilon}}{1 + \left( \frac{a}{\beta_\varepsilon} \right)^2} \right]; \quad (9)$$

$$Z_E = \frac{\beta_\varepsilon}{\omega\varepsilon'\varepsilon_0} \left[ \frac{1 + \frac{a}{\beta_\varepsilon} \operatorname{tg}\delta + i \left( \frac{a}{\beta_\varepsilon} - \operatorname{tg}\delta \right)}{1 + \operatorname{tg}^2\delta} \right]. \quad (10)$$

Якщо  $\operatorname{tg}\delta$  малий, то, використовуючи значення для  $\beta_\varepsilon$  (7) і (5), отримаємо:

$$Z_H \approx Z'_H \left( 1 + i \frac{\alpha}{\beta_\varepsilon} \right); \quad (11)$$

$$Z_E \approx Z'_E \left[ 1 + i \left( \operatorname{tg}\delta - \frac{a}{\beta_\varepsilon} \right) \right], \quad (12)$$

де  $Z'_H$  і  $Z'_E$  – хвильовий опір хвилеводів, заповнених діелектриком без врахування втрат.

Вираз  $\frac{a}{\beta_\varepsilon}$  має вигляд:

$$\frac{a}{\beta_\varepsilon} = \frac{\varepsilon''}{2} \left( \frac{k}{\beta_0} \right)^2 = \frac{\operatorname{tg}\delta}{2} \frac{\varepsilon'}{\varepsilon' - \left( \frac{x}{k} \right)^2}. \quad (13)$$

Якщо  $\varepsilon' \gg 1 > \left( \frac{x}{k} \right)^2$ , то  $\frac{a}{\beta_\varepsilon} \approx \frac{\operatorname{tg}\delta}{2}$  і:

$$Z_H \approx Z'_H \left( 1 + i \frac{\text{tg} \delta}{2} \right) \approx Z'_H \left( 1 + i \frac{a}{\beta_0} \right); \quad (14)$$

$$Z_E \approx Z'_E \left( 1 + i \frac{\text{tg} \delta}{2} \right) \approx Z'_E \left( 1 + i \frac{a}{\beta_0} \right). \quad (15)$$

Розділивши відповідні значення хвильових опорів хвилеводів без діелектриків на вирази (14) та (15), отримаємо нормовані хвильові опори  $Z'_{H_0}$  і  $Z'_{E_0}$ :

для хвиль  $H$ -типу:

$$Z'_{H_0} \approx Z_{H_0} \left( 1 - i \frac{a}{\beta_0} \right), \quad Z'_{H_0} = \frac{\sqrt{\varepsilon' - \left( \frac{x}{k} \right)^2}}{\sqrt{1 - \left( \frac{x}{k} \right)^2}}; \quad (14')$$

для хвиль  $E$ -типу:

$$Z'_{E_0} \approx Z_{E_0} \left( 1 - i \frac{a}{\beta_0} \right), \quad Z'_{E_0} = \frac{\sqrt{\varepsilon' - \left( \frac{x}{k} \right)^2}}{\sqrt{1 - \left( \frac{x}{k} \right)^2}}. \quad (15')$$

Розглянемо нескінченний регулярний хвилевід з довільною формою поперечного перерізу (рис. 1). Перпендикулярно до осі хвилеводу розміщена діелектрична пластина, що перекриває хвилевід. Припустимо, що діелектрик, з якого виготовлена пластина, має втрати, а в стінках хвилеводу втрат немає. Нехай зліва на право розповсюджується хвиля одного будь-якого  $H$ - або  $E$ -типу.

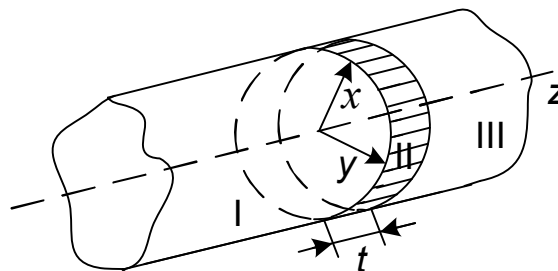


Рис. 1. Регулярний хвилевід з шаром діелектрика (I, II, III – області хвилеводу)

Запишемо вирази для полів у областях I, II, III (рис. 1) в такому вигляді:

I область ( $-\infty < z \leq 0$ ):

$$E_t^I = [Ae^{+i\beta_0 z} + Be^{+i\beta_0 z}] \mathbf{s}_{h,e}; \quad E_z^I = [Ae^{-i\beta_0 z} - Be^{+i\beta_0 z}] \mathbf{q}_e; \quad (16)$$

$$H_t^I = [Ae^{-i\beta_0 z} - Be^{+i\beta_0 z}] \frac{\mathbf{p}_{h,e}}{Z_1}; \quad H_z^I = [Ae^{-i\beta_0 z} + Be^{+i\beta_0 z}] \mathbf{q}_h.$$

II область ( $0 \leq z \leq t$ ):

$$E_t^{II} = [Ce^{-\gamma z} + De^{+\gamma z}] \mathbf{s}_{h,e}; \quad E_z^{II} = [Ce^{-\gamma z} - De^{+\gamma z}] \mathbf{q}_e; \quad (17)$$

$$H_t^{II} = [Ce^{-\gamma z} - De^{+\gamma z}] \frac{\mathbf{p}_{h,e}}{Z_2}; \quad H_z^{II} = [Ce^{-\gamma z} + De^{+\gamma z}] \mathbf{q}_h.$$

III область ( $t \leq z < +\infty$ )

$$\begin{aligned} E_t''' &= [Fe^{-i\beta_0 z}] \mathbf{s}_{h,e}; E_z''' = Fe^{-i\beta_0 z} \mathbf{q}_e; \\ H_t''' &= [Fe^{-i\beta_0 z}] \frac{\mathbf{p}_{h,e}}{Z_1}; H_z''' = Fe^{-i\beta_0 z} \mathbf{q}_h, \end{aligned} \quad (18)$$

де  $A, B, C, D$  – невідомі амплітуди полів;  $s, p, q$  – векторні функції для  $H$ - і  $E$ -хвиль, що характеризують розподіл поля в поперечному перерізі хвилеводу;  $\beta_0, \gamma$  – хвильові числа;  $Z_1, Z_2$  – ненормовані хвильові опори.

Множник  $e^{+i\omega t}$  у виразах (16)–(18) опущено.

Прирівнюючи тангенціальні складові полів на границях областей I, II, III, отримаємо значення амплітуд:

$$B = \frac{(1 - Z^2)sh\theta}{(1 + Z^2)sh\theta + 2Zch\theta} A; \quad (19)$$

$$C = \frac{(1 + Z)e^\theta}{(1 + Z^2)sh\theta + 2Zch\theta} A; \quad (20)$$

$$D = \frac{-(1 - Z)e^{-\theta}}{(1 + Z^2)sh\theta + 2Zch\theta} A; \quad (21)$$

$$F = \frac{2Ze^{i\varphi_0}}{(1 + Z^2)sh\theta + 2Zch\theta} A, \quad (22)$$

де  $\varphi_0 = \beta_0 t$ ;  $\theta = \gamma t$ ;  $Z = \frac{Z_1}{Z_2} = Z'_{H0,E0}$ .

Зазначимо, що в прийнятих тут позначеннях константи  $B, C, D, F$  не мають розмірності поля. Для того, щоб отримати правильну розмірність, необхідно  $A$  замінити на  $\frac{E_0}{z} \sqrt{\frac{s}{2}}$  ( $S$  – площа поперечного перерізу хвилеводу;  $E$  – напруженість електричного поля). Скрізь далі кінцеві результати представлено в безрозмірному вигляді.

Формули для амплітуд (19), (20) справедливі як для  $H$ -, так і для  $E$ -хвиль. Специфіка цих хвиль заключна в значеннях величин  $\varphi, \theta$  і  $Z$ , які різні для  $H$ - і  $E$ -хвиль. Використовуючи значення амплітуд (19)–(22), можна записати формули для тангенціальних складових поля в областях I–III:

$$E_t^I = As_{h,e} e^{-i\beta_0 z} + \frac{(1 - Z^2)sh\theta}{(1 + Z^2)sh\theta + 2Zch\theta} As_{h,e} e^{i\beta_0 z}; \quad (23)$$

$$E_t^{II} = 2As_{h,e} \frac{[Zch\theta(1 - \xi) + sh\theta(1 - \xi)]}{(1 + Z^2)sh\theta + 2Zch\theta}; \quad (24)$$

$$E_t^{III} = 2As_{h,e} \frac{Ze^{i\varphi_0}}{(1 + Z^2)sh\theta + 2Zch\theta} e^{-i\beta_0 z}, \quad (25)$$

де  $\xi = \frac{Z}{t}$ .

Аналогічно можна записати вирази і для поздовжніх складових полів  $E_z$  і  $H_z$ . Зокрема, для поля  $E_z$  маємо:

$$E_z^I = Aq_e e^{-i\beta_0 z} + \frac{(1 - Z^2)sh\theta}{(1 + Z^2)sh\theta + 2Zch\theta} Aq_e e^{+i\beta_0 z}; \quad (26)$$

$$E_z^{II} = 2Aq_e \frac{[ch\theta(1 - \xi) + Zsh\theta(1 - \xi)]}{(1 + Z^2)sh\theta + 2Zch\theta}; \quad (27)$$

$$E_z^{III} = 2Aq_e \frac{Ze^{i\varphi_0}}{(1 + Z^2)sh\theta + 2Zch\theta} e^{-i\beta_0 z}. \quad (28)$$

З даних формул випливає, що коефіцієнт відбиття рівний:

$$R = \frac{B}{A} = \frac{(1 - Z^2)sh\theta}{(1 + Z^2)sh\theta + 2Zch\theta}, \quad (29)$$

а коефіцієнт передачі має вигляд:

$$T = \frac{F}{A} = \frac{2Ze^{i\varphi_0}}{(1+Z^2)sh\theta + 2Zch\theta}. \quad (30)$$

Таким чином, вирази (23)–(25) для поля і формули для амплітуд хвиль (19)–(22) повністю вирішують завдання з визначення розподілу поля  $H$ - і  $E$ -хвиль у регулярному хвилеводі з діелектричною пластиною. Можна показати, що формули (29), (30) співпадають з відповідними виразами для коефіцієнта відбиття і передачі для хвиль у вільному просторі [3], відмінність полягає лише в значеннях  $Z$  і  $\beta$ , які для  $H$ - ,  $E$ - і  $TEM$ -хвиль різні.

Щільність потужності втрат у діелектрику рівна [8]:

$$\rho = \frac{\omega \epsilon_0 \epsilon''}{2} |E|^2. \quad (31)$$

Використовуючи значення сталої затухання  $a$  (4) і хвильового числа  $\beta_0$  (7), формулу (31) можна записати в іншому вигляді:

$$\rho = \frac{a}{\rho} \frac{\beta_0}{k} |E|^2, \quad (32)$$

де  $\rho$  – хвильовий опір вільного простору.

Для хвиль  $H$ -типу електричне поле поперечне, тому:

$$|E|^2 = |E_t|^2. \quad (33)$$

У випадку  $E$ -хвиль поле містить як поперечну, так і поздовжню компоненти:

$$|E|^2 = |E_t|^2 + |E_z|^2. \quad (34)$$

Розглянемо спочатку випадок  $H$ -хвиль. Оскільки у хвилеводі використовуються діелектрики з малими втратами, то при подальшому аналізі доцільно обмежитись лише випадком малих значень  $tg\delta$ , або, точніше, малих значень  $at$ . Враховуючи дане припущення, з формули (24) отримаємо:

$$\begin{aligned} |E_t''|^2 &= |A|^2 |s_h|^2 \times \\ &\times \frac{4 \left[ Z_0^2 \cos^2 \varphi (1 - \xi) + \sin^2 \varphi (1 - \xi) + 2Z_0 a l (1 - \xi) - Z_0 \left( \frac{a}{\beta} \right) \sin 2\varphi (1 - \xi) \right]}{4Z_0^2 \cos^2 \varphi + (1 + Z_0^2) \sin^2 \varphi + 4Z_0 a l \left[ Z_0^2 + 1 + (Z_0^2 - 1) \frac{\sin 2\varphi}{2\varphi} \right]}, \end{aligned} \quad (35)$$

де  $Z_0$  – відношення хвильових опорів хвилеводу без діелектрика і хвилеводу з діелектриком без втрат (14'), (15');  $\varphi = \beta_\epsilon t$ .

Оскільки окремі доданки малі, то в ряді випадків ними можна знехтувати:

$$|E_t''|^2 = |A|^2 |s_h|^2 \frac{4 \left[ Z_0^2 \cos^2 \varphi (1 - \xi) + \sin^2 \varphi (1 - \xi) \right]}{4Z_0^2 \cos^2 \varphi + (1 + Z_0^2) \sin^2 \varphi}. \quad (36)$$

Останній вираз зручний для аналізу і в багатьох випадках забезпечує достатню точність. Підставляючи (36) у формулу (32), отримаємо вираз для розподілу щільності втрат:

$$P_h = 2a \left( \frac{\beta_\epsilon}{\beta_0} \right) \int_s \frac{|s_h|^2}{|s_h|^2} ds \frac{4 \left[ Z_0^2 \cos^2 \varphi (1 - \xi) + \sin^2 \varphi (1 - \xi) \right] P_0}{4Z_0^2 \cos^2 \varphi + (1 + Z_0^2) \sin^2 \varphi}, \quad (37)$$

де  $P_0$  – потужність хвилі, що падає на діелектрик:

$$P_0 = \frac{1}{2} \operatorname{Re} \int_s [E_t' H_t'] z_0 ds = \frac{|A|^2}{2Z_1} \int_s |s_h| ds, \quad (38)$$

де  $z_0$  – одиничний вектор.

Якщо електрична товщина діелектрика мала, то з (37) випливає:

$$P_h = 2a \left( \frac{\beta_\epsilon}{\beta_0} \right) \int_s \frac{|s_h|^2}{|s_h|^2} ds P_0. \quad (39)$$

Повну потужність втрат  $P_{nm}$  у вікні можна знайти шляхом інтегрування потужності втрат за об'ємом вікна:

$$\frac{P_{nm}}{P_0} = \int_v p dv \approx \left(\frac{a}{\beta_\varepsilon}\right) \left(\frac{\beta_\varepsilon}{\beta_0}\right) \times \frac{4 \left[ Z_0^2 + 1 + (Z_0^2 - 1) \frac{\sin 2\varphi}{2\varphi} \right] \varphi}{4Z_0^2 \cos^2 \varphi + (1 + Z_0^2) \sin^2 \varphi + 4Z_0^2 \left(\frac{a}{\beta_\varepsilon}\right) \varphi \left[ Z_0^2 + 1 + (Z_0^2 - 1) \frac{\sin 2\varphi}{2\varphi} \right]} \quad (40)$$

При малих значеннях електричної товщини діелектрика ( $\varphi \ll 1$ ) з даної формули випливає, що відносна величина потужності втрат рівна:

$$\frac{P_{nm}}{P_0} \approx 2at \left(\frac{\beta_\varepsilon}{\beta_0}\right), \quad (41)$$

тобто втрати пропорційні товщині діелектрика  $t$ . У випадку великих товщин залежність більш складна. При достатньо великих, але скінченних значеннях  $\varphi = \beta_\varepsilon t$  і малих значеннях  $at \ll 1$  з формули (41) випливає:

$$\frac{P_{i0}}{P_0} \left(\frac{\beta_\varepsilon}{a}\right) \approx \frac{4Z_0(1 + Z_0^2)\varphi}{4Z_0^2 + (1 - Z_0^2)^2 \sin^2 \varphi}. \quad (42)$$

Розглянемо тепер випадок  $E$ -хвиль. Так само, як і для  $H$ -хвиль, можна було б проаналізувати квадрат поперечної складової і квадрат поздовжньої складової. Однак, якщо цікавитися лише сумарними втратами, то можна вчинити значно простіше. Із закону збереження енергії випливає, що потужність втрат рівна:

$$\frac{P_{nm}}{P_0} = 1 - |R|^2 - |T|^2, \quad (43)$$

де  $|R|$  і  $|T|$  визначаються за формулами (29), (30), які справедливі як для  $H$ -, так і для  $E$ -хвиль. Підставивши значення  $|R|$  і  $|T|$  в (43), отримаємо:

$$\frac{P_{i0}}{P_0} = 1 - \frac{|1 - Z^2|^3 |sh\theta|^2 - 4|Z|^2}{|(1 + Z^3)sh\theta + 2Zch\theta|^2}. \quad (44)$$

Ця формула дає можливість розрахувати повні втрати для обох типів хвиль. Обмежуючись випадком малих втрат і використовуючи значення для  $Z$  (14'), (15') і для  $\beta_\varepsilon$  (7) (справедливі при  $ek^2 \gg x^2$ ), з формули (44) отримаємо результат, що співпадає з (37), тобто як для  $H$ -, так і для  $E$ -хвиль втрати у вказаному наближенні розраховуються за однією і тією ж формулою (37). Так як поле  $H$ -хвиль визначається однією поперечною складовою, а  $E$ -хвиль – поздовжньою і поперечною, то співпадання результатів означає, що поздовжня складова напруженості електричного поля в випадку малих втрат (і при  $ek^2 \gg x^2$ ) вносить незначну величину в загальні втрати, порівняно з поперечною складовою поля. В цьому можна переконатися при безпосередньому аналізі щільності втрат, обумовлених складовими  $E_t$  і  $E_z$ .

Розподіл втрат у поперечному перерізі визначається векторними функціями  $s$ ,  $p$ ,  $q$  (16)–(18), які в прийнятих тут позначеннях мають такий вигляд:

для  $H$ -хвилі:

$$s_h = [\nabla \psi \cdot z_0]; \quad p_h = \nabla \psi_h; \quad q_h = \frac{iX_h^2}{\omega\mu_0} \psi_h \cdot z_0; \quad (45)$$

для  $E$ -хвилі:

$$s_e = \psi_e; \quad p_e = [z_0, \nabla \psi]; \quad q_e = -\frac{X^2}{\gamma_e} \psi_e \cdot z_0, \quad (46)$$

де  $\psi_h$  і  $\psi_e$  – власні функції хвильового рівняння для поперечного перерізу хвильоводу. Ці функції дійсні, не залежать від властивостей середовища, що заповнює хвильовід і тому на ділянці хвильоводу без діелектрика і з діелектриком однакові. Власні функції  $\psi$  визначаються з точністю до константи, яка знаходиться за умови нормування:

$$\int_s |\psi_{e,h}|^2 ds = 1; \int_s |\nabla \psi_{e,h}|^2 ds = x_{e,h}^2. \quad (47)$$

Підставляючи значення векторних функцій (45), (46), у формулу (32), для щільності втрат отримаємо:

$$p_h = 2aP_0 \left( \frac{\beta_\varepsilon}{\beta_0} \right) \left[ \frac{|\nabla \psi_e|^2}{x_e^2} |f_1(\gamma\xi)|^2 \right], \quad (48)$$

де

$$|f_1(\gamma\xi)|^2 = 4 \left| \frac{Zch\theta(1-\xi) + sh\theta(1-\xi)}{2Zch\theta + (1+Z^2)sh\theta} \right|^2; \quad (49)$$

$$p_e = 2aP_0 \left( \frac{\beta_0\beta_\varepsilon}{k^2} \right) \left[ \frac{|\nabla \psi|^2}{x_e^2} |f_1(\gamma\varepsilon)|^2 + \frac{x_e^2}{|\gamma|^2} |\psi_e|^2 |f_2(\gamma\xi)|^2 \right], \quad (50)$$

де

$$|f_2(\gamma\xi)|^2 = 4 \left| \frac{ch\theta(1-\xi) + Zsh\theta(1-\xi)}{2Zch\theta + (1+Z^2)sh\theta} \right|^2. \quad (51)$$

Таким чином, розподіл втрат у поперечному перерізі вікна повністю визначається власною функцією та її градієнтом:

У випадку прямокутного хвилеводу [6] власні функції рівні:

$$\begin{aligned} \psi_{e,mn} &= \frac{2}{\sqrt{ab}} \sin \frac{m\pi x}{a} \sin \frac{n\pi y}{b}, \quad x^2 = \left( \frac{m\pi}{a} \right)^2 + \left( \frac{n\pi}{b} \right)^2; \\ \psi_{h,mn} &= \sqrt{\frac{(2-\delta_{0m})(2-\delta_{0n})}{ab}} \cos \frac{m\pi x}{a} \cos \frac{n\pi y}{b}. \end{aligned} \quad (52)$$

Для круглого хвилеводу:

$$\begin{aligned} \psi_{e,mn} &= \sqrt{\frac{2}{\pi(1+\delta_{0m})}} \frac{J_m\left(\varepsilon_{mn} \frac{r}{a}\right)}{a J_m(\varepsilon_{mn})} \frac{\sin m\varphi}{\cos m\varphi}, \quad x_{e,mn}^2 = \left( \frac{\varepsilon_{mn}}{a} \right)^2; \\ \psi_{h,mn} &= \sqrt{\frac{2}{\pi(1+\delta_{0m})}} \frac{\mu_{mn}}{a \sqrt{\mu_{mn}^2 - m^2}} \frac{J_m\left(\mu_{mn} \frac{r}{a}\right)}{J_m(\mu_{mn})} \frac{\sin m\varphi}{\cos m\varphi}, \quad x_{h,mn}^2 = \left( \frac{\mu_{mn}}{a} \right)^2, \end{aligned} \quad (53)$$

причому найменші значення коренів  $\varepsilon_{mn}$  і  $\mu_{mn}$  дорівнюють:  $\varepsilon_{01} = 2,405$ ;  $\varepsilon_{11} = 3,832$ ;  $\varepsilon_{21} = 5,135$ ;  $\mu_{11} = 1,840$ ;  $\mu_{21} = 3,054$ ;  $\mu_{01} = 3,830$ .

Розглянемо розподіл щільності втрат для деяких видів хвиль, що використовуються найбільш часто.

### Прямокутний хвилевід

Хвиля типу  $H_{10}$ . Використовуючи вирази (52) і (48), отримаємо:

$$p_{h10} = \frac{4P_0 a Z_0}{ab} \sin^2 \frac{\pi x}{a} |f_1(\beta_\varepsilon, \xi)|^2. \quad (54)$$

Максимум щільності втрат розміщений у центрі широкій стінки хвилеводу. По висоті хвилеводу щільність втрат постійна. Як впливає з виразу (54) біля 80 % всієї потужності втрат виділяється в центрі пластини на ділянці шириною  $\frac{a}{2}$  (рис. 1).

Хвиля типу  $E_{11}$ . Розподіл щільності втрат у даному випадку визначається виразом:

$$p_{e11} = \frac{8aP_0 Z_0}{ab} \left[ \frac{\left( \frac{\pi}{a} \right)^2 \cos^2 \frac{\pi x}{a} \sin^2 \frac{\pi y}{b} + \left( \frac{\pi}{b} \right)^2 \sin^2 \frac{\pi x}{a} \cos^2 \frac{\pi y}{a}}{\left( \frac{\pi}{a} \right)^2 + \left( \frac{\pi}{b} \right)^2} \right] |f_1(\beta_\varepsilon, \xi)|^2 + \quad (55)$$

$$\left. + \frac{\left(\frac{\pi}{a}\right)^2 + \left(\frac{\pi}{b}\right)^2}{|\gamma|^2} \sin^2 \frac{\pi x}{a} \sin^2 \frac{\pi y}{a} |f_2(\beta_\varepsilon, \xi)|^2 \right]$$

Розподіл поля по перерізу хвилеводу у випадку  $E$ -хвилі залежить від довжини хвилі. Зокрема по мірі наближення до критичної довжини хвилі другий доданок (55) збільшується.

#### Круглий хвилевід

Хвиля типу  $H_{11}$ . Використовуючи вираз для власної функції  $\psi_{h,11}$  (53) і формулу (48), отримаємо:

$$\rho_{h11} = \frac{4aP_0Z_0}{\pi a^2 \left(1 - \frac{1}{\mu_{11}^2}\right)} \left[ \frac{J_1^2\left(r \frac{\mu_{11}}{a}\right)}{J_1^2(\mu_{11})} \cos^2 \varphi + \left(\frac{a}{\mu_{11}r}\right)^2 \frac{J_1^2\left(r \frac{\mu_{11}}{a}\right)}{J_1^2(\mu_{11})} \sin^2 \varphi \right] |f(\beta_\varepsilon, \xi)|^2. \quad (56)$$

Максимум щільності втрат розташований у центрі хвилеводу (рис. 1).

Хвиля типу  $E_{10}$ . Розподіл щільності втрат для хвилі  $E_{10}$ -типу визначається за формулою:

$$q_{e10} = \frac{2aP_0Z_0}{\pi a^2 J_1^2(\varepsilon_{01})} \left[ J_1^2\left(\varepsilon_{01} \frac{r}{a}\right) |f_1(\beta_\varepsilon, \xi)|^2 + \frac{\left(\frac{\varepsilon_{01}}{a}\right)^2}{|\gamma|^2} J_0^2\left(\varepsilon_{01} \frac{r}{a}\right) |f_2(\beta_\varepsilon, \xi)|^2 \right]. \quad (57)$$

Виражена в децибелах величина затухання потужності, що пройшла через шар матеріалу в лінії передачі, визначається виразами (9), (10):

$$N = 10 \lg \frac{P_{пад}}{P_{ид}} = 8,686 \alpha t, \quad (58)$$

де  $P_{пад}$  і  $P_{ид}$  – потужність, що падає на шар матеріалу і проходить через нього.

Стала затухання  $\alpha$  є функцією електричних параметрів  $\varepsilon^*$  і  $\operatorname{tg} \delta$ , які, як було сказано вище, зв'язані з вологістю матеріалу. Звідси випливає, що величина затухання також залежить від вологості матеріалу і може бути мірою його вологості.

**Висновки.** В даній роботі розглянутий метод вимірювання вологості твердих і сипучих матеріалів.

Якщо діелектрична проникність шару матеріалу така, що  $\varepsilon' \geq 1 \geq \left(\frac{x}{k}\right)^2$  і малі втрати, то першому наближенні, стала затухання для всіх типів хвиль і форм ліній передачі визначається лише діелектричною проникністю, тангенсом кута втрат і довгої хвилі. Щільність втрат розподілена неоднорідно за товщиною шару матеріалу. Розподіл втрат по поперечному перерізу шару матеріалу нерівномірний. При малій товщині шару матеріалу величина повної потужності втрат пропорційна товщині ( $t$ ) коефіцієнта затухання і відношенню хвильових опорів лінії передачі без матеріалу із матеріалом.

#### ЛІТЕРАТУРА:

1. Мелкумян В.Е. Обеспечение единства измерений влажности твердых материалов / В.Е. Мелкумян. – М., 1975. – 120 с.
2. Кричевский Е.С. Высокочастотный контроль влажности при обогащении полезных ископаемых / Е.С. Кричевский. – М. : Недра, 1972. – 238 с.
3. Бензарь В.К. Техника СВЧ влагометрии / В.К. Бензарь. – Минск : Высшая школа, 1974. – 185 с.
4. Викторов В.А. Радиоволновые измерения параметров технологических процессов / В.А. Викторов, Б.В. Лункин, А.С. Совлуков. – М. : Энергоатомиздат, 1989. – 206 с.
5. Федоткин И.М. Физико-технические основы влагометрии в пищевой промышленности / И.М. Федоткин, В.П. Клочков. – К. : Техника, 1974. – 152 с.
6. Ястребов О.И. Применение техники СВЧ в целлюлозно-бумажном производстве / О.И. Ястребов. – М. : Лесная промышленность, 1977. – 220 с.
7. Митрохин В.Н. Электродинамика и распространение радиоволн / В.Н. Митрохин. – М. : Рудомино, 2010. – 210 с.



8. Электродинамика и распространение радиоволн / В.А. Неганов, О.В. Осипов, С.Б. Раевский и др. – М. : Радио и связь, 2009. – 774 с.
9. Митрохин В.Н. Электродинамические свойства материальных сред / В.Н. Митрохин. – М. : Изд-во МГТУ им. М.Э. Боумана, 2011. – 150 с.
10. Гридин В.Н. Электродинамика структур крайневых частот / В.Н. Гридин, Е.И. Нефедов, Т.Ю. Черникова. – М. : Наука, 2002. – 359 с.

БЕНЕДИЦЬКИЙ Василь Борисович – старший викладач кафедри радіотехніки та телекомунікацій Житомирського державного технологічного університету.

Наукові інтереси:

- радіохвильові методи вимірювання.

КОЗАК Лілія Юріївна – аспірант кафедри радіотехніки та телекомунікацій Житомирського державного технологічного університету.

Наукові інтереси:

- радіохвильові методи вимірювання;
- вимірювання вологості матеріалів.

ЯВОРСЬКА Анна Валеріївна – аспірант кафедри радіотехніки та телекомунікацій Житомирського державного технологічного університету.

Наукові інтереси:

- радіохвильові методи вимірювання;
- вимірювальна апаратура.

Подано 19.10.2011